

# Редкие распады мезонов

Е.Авакян, С.Авакян

ГГТУ им.П.О.Сухого, Гомель

THE XV-th INTERNATIONAL SCHOOL-CONFERENCE  
"THE ACTUAL PROBLEMS OF MICROWORLD PHYSICS"

Minsk, Belarus, 27 August – 3 September, 2023

➤ ***Flavour-changing neutral currents:***  $K \rightarrow \pi\nu\bar{\nu}; K_L \rightarrow \pi^0 l^+l^-; K^+ \rightarrow \pi^+ l^+l^-; K_L \rightarrow \mu^+\mu^-$

➤ ***Lepton flavour universality tests:***  $\frac{Br(K^+ \rightarrow \pi^+ \mu^+ \mu^-)}{Br(K^+ \rightarrow \pi^+ e^+ e^-)}, \frac{Br(K \rightarrow \pi \mu \nu)}{Br((K \rightarrow \pi e \nu))}$

➤ ***Lepton flavour and number violating decays***

$$K^+ \rightarrow \pi^-(\pi^0) l_1^+ l_2^-, K^+ \rightarrow \pi^+ \mu^\pm e^\mp, K^+ \rightarrow l_1^+ \nu l_2^- \nu, K_L \rightarrow (\pi^0(\pi^0) \mu^\pm e^\mp)$$

➤ ***Tests of low-energy QCD***

$$K \rightarrow \pi\pi, K \rightarrow \pi\pi\pi, K \rightarrow \pi\gamma\gamma, K \rightarrow l\nu\gamma, K \rightarrow \pi\pi\gamma, K \rightarrow \pi\pi\gamma, K \rightarrow \pi\pi\pi\gamma, K \rightarrow \pi e^+ e^-, K \rightarrow \pi\pi l\nu$$

➤ ***CKM first-row unitarity tests***  $K^+ \rightarrow (\pi^0) l^+ \nu, K_L \rightarrow \pi^\pm l^\mp \nu$

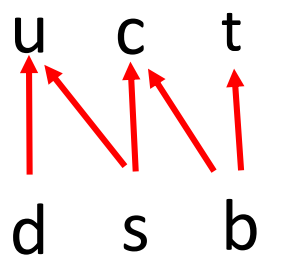
➤ ***Production of feebly-interacting particles in kaon decays***  $K^+ \rightarrow l^+ N, K^+ \rightarrow \pi^+ S$

## Слабые взаимодействия:

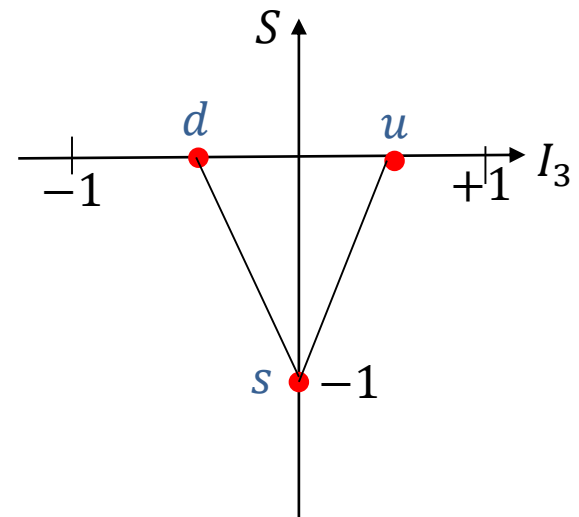
Лептонов:

$$\begin{array}{ccc} e^- & \mu^- & \tau^- \\ \downarrow & \downarrow & \downarrow W^- \\ \nu_e & \nu_\mu & \nu_\tau \end{array} \quad \begin{array}{ccc} e^+ & \mu^+ & \tau^+ \\ \downarrow & \downarrow & \downarrow W^+ \\ \bar{\nu}_e & \bar{\nu}_\mu & \bar{\nu}_\tau \end{array} \quad \Delta Q = 1$$

Кварков:



$$Q = \frac{2}{3}$$
$$Q = -\frac{1}{3}$$

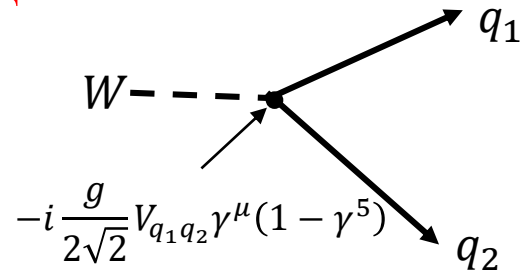
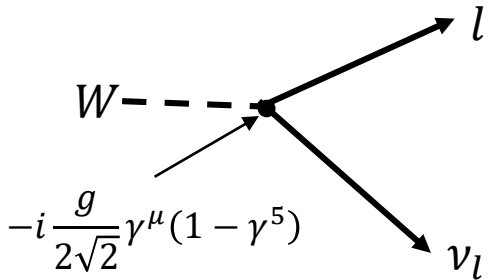


$$s \rightarrow u \text{ на } \frac{1}{2}$$

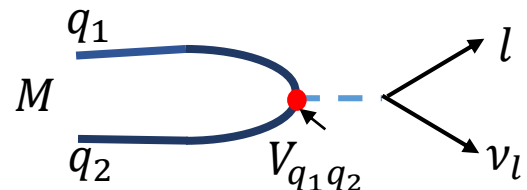
Проекция изоспина  $I_3$  меняется в случае

$$d \rightarrow u \text{ на } 1$$

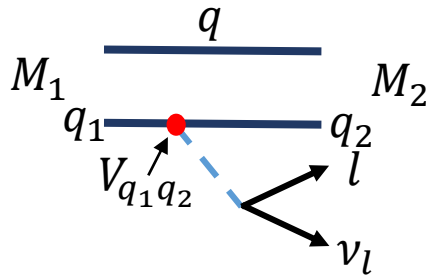
$W^\pm$  может распадаться как



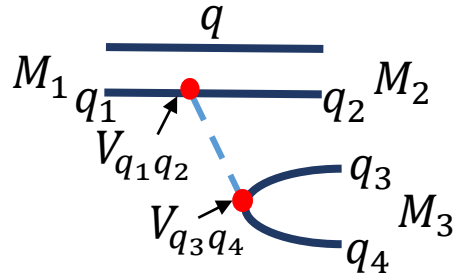
$V_{q_1 q_2}$ -матричный элемент матрицы смещивания Кабибо-Кобаяши –Маскава  $V_{CKM}$



Лептонные распады



Полулептонные распады



Нелептонные распады

## *Матричный элемент распада*

$$M(M_1 \rightarrow M_2 l \nu_l) = \frac{G_F}{\sqrt{2}} V_{q_1 q_2} H^\mu L_\mu$$

Где лептонный и адронный токи имеют вид:

$$L_\mu = \bar{\nu}_l \gamma_\mu (1 - \gamma_5) l$$

$$H^\mu = \langle M_2 | V^\mu - A^\mu | M_1 \rangle$$

Где  $V^\mu = \bar{q}_1 \gamma^\mu q_2$  и  $A^\mu = \bar{q}_1 \gamma^\mu \gamma_5 q_2$

- *Covariant Constituent Quark Model (CCQM).*

T. Branz, A. Faessler, T. Gutsche, M.A. Ivanov, J.G. Körner, V. E. Lyubovitskij

Phys. Rev. D81, 034010 (2010)

$$L_{int}^{st}(x) = g_M M(x) \int dx_1 \int dx_2 F_M(x, x_1, x_2) \bar{q}_1(x_1) \lambda_M \Gamma_M q_2(x_2)$$

$F_M(x, x_1, x_2)$ -вершинная функция, характеризующая конечный размер адрона

Для обеспечения трансляционной инвариантности  $F_M(x, x_1, x_2)$  должна удовлетворять требованию

$$F_M(x + a, x_1 + a, x_2 + a) = F_M(x, x_1, x_2) \quad \text{для любого вектора } a$$

$$F_M(x, x_1, x_2) = \delta^4 \left( x - \sum_{i=1}^2 w_i x_i \right) \Phi_M((x_1 - x_2)^2)$$

$$w_i = \frac{m_i}{m_1 + m_2} \quad m_1, m_2 \text{ — массы конституентных夸克ов.}$$

Простейшая форма формфактора :  $\Phi_M(-l^2) = \exp\left(-\frac{l^2}{\Lambda_M^2}\right)$

$\Lambda_M^2$ -параметр модели, характеризующий размер мезона

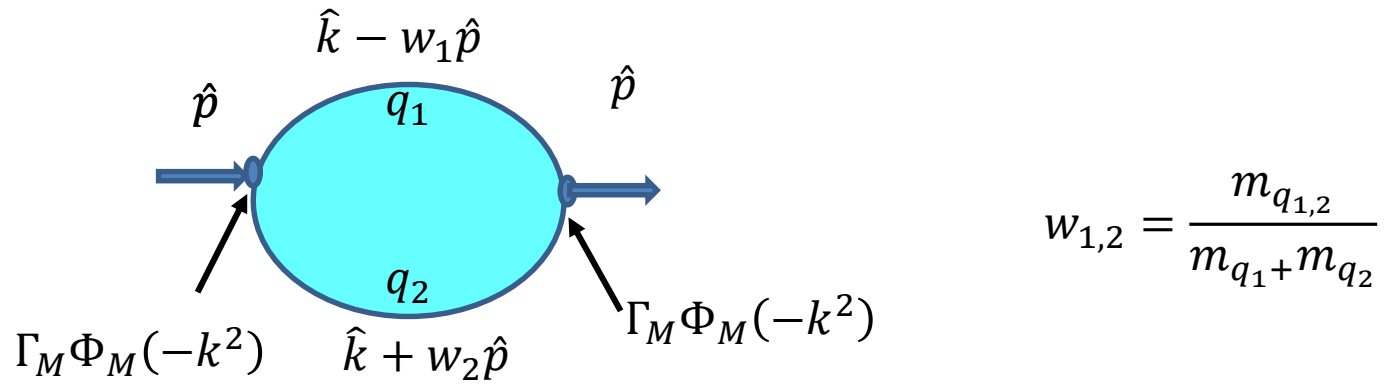
*Константа связи  $g_M$  определяется из условия связности:*

$$Z_M = 1 + \frac{3g_M^2}{4\pi^2} \tilde{\Pi}'_M(m_M) = 0$$

*При вычислении матричных элементов удобно использовать:*

$$h_M = \frac{3g_M^2}{4\pi^2} = -\frac{1}{\tilde{\Pi}'_M(m_M)}$$

*$\tilde{\Pi}_M$ -массовый оператор в случае псевдоскалярных и  
поперечная часть поляризационного оператора в случае векторных  
и аксиально-векторных мезонов.*



$$w_{1,2} = \frac{m_{q_{1,2}}}{m_{q_1} + m_{q_2}}$$

$$\Pi_M(p^2) = 3g_M^2 \int \frac{d^4 k}{(2\pi)^4 i} \Phi_M^2(-k^2) Tr \{ \Gamma_M S_{q_1}(\hat{k} - w_1 \hat{p}) \Gamma_M S_{q_2}(\hat{k} + w_2 \hat{p}) \}$$

$$S_q(\hat{k}) = \frac{1}{m_q - \hat{k} - i\epsilon} \quad \text{-пропагатор свободного констинтюэнтного кварка}$$

В представлении Фока-Швингера

$$S_q(\hat{k} + \hat{p}) = \frac{1}{m_q - \hat{k} - \hat{p}} = \frac{m_q + \hat{k} + \hat{p}}{m_q^2 - (k + p)^2} = (m_q + \hat{k} + \hat{p}) \int_0^\infty d\alpha e^{-\alpha(m_q^2 - (k + p)^2)}$$

Любая диаграмма может быть представлена в виде

$$G = N_c \frac{g_1 g_2 \cdots g_n}{4\pi^2} \int_0^\infty d^n \alpha F(\alpha_1, \alpha_2, \dots, \alpha_n)$$

После использования тождества

$$1 = \int_0^\infty dt \delta\left(t - \sum_{i=1}^n \alpha_i\right)$$

$$G = N_c \frac{g_1 g_2 \cdots g_n}{4\pi^2} \int_0^\infty dt t^{n-1} \int_0^1 d^n \alpha \delta\left(1 - \sum_{i=1}^n \alpha_i\right) F(t\alpha_1, t\alpha_2, \dots, t\alpha_n)$$

$$\int_0^\infty dt \rightarrow \int_0^{\frac{1}{\lambda^2}} dt$$

$$G^c = N_c \frac{g_1 g_2 \cdots g_n}{4\pi^2} \int_0^{\frac{1}{\lambda^2}} dt t^{n-1} \int_0^1 d^n \alpha \delta\left(1 - \sum_{i=1}^n \alpha_i\right) F(t\alpha_1, t\alpha_2, \dots, t\alpha_n)$$

## *Параметры модели*

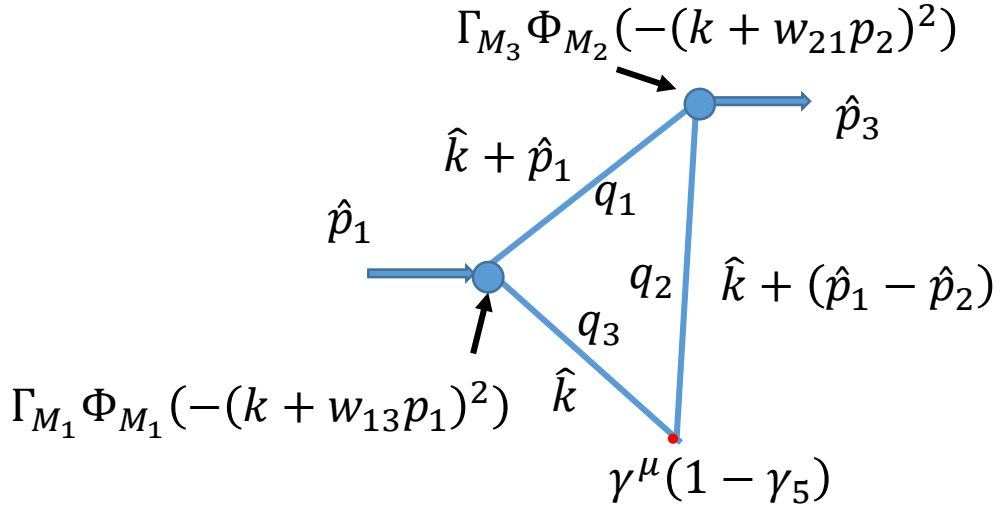
*Параметры характеризующие размеры мезонов ( $\Gamma\text{э}B$ ):*

$\Lambda_\pi$	$\Lambda_K$	$\Lambda_{K^*}$	$\Lambda_D$	$\Lambda_{D_s}$	$\Lambda_\eta^{qq}$	$\Lambda_\eta^{ss}$	$\Lambda_{\eta'}^{qq}$	$\Lambda_{\eta'}^{ss}$
<b>0,711</b>	<b>1,014</b>	<b>0,805</b>	<b>1,600</b>	<b>1,750</b>	<b>0,881</b>	<b>1,014</b>	<b>0,257</b>	<b>2,707</b>

*Массы конституентных夸арков( $\Gamma\text{э}B$ ):*

$m_{u/d}$	$m_s$	$m_c$	$m_b$
<b>0,241</b>	<b>0,428</b>	<b>1,672</b>	<b>5,05</b>

*Параметр обрезания  
 $\lambda = 0,181 \text{ GeV}$*



$$I_{M_1 M_2}^{\mu}(\hat{p}_{M_1}, \hat{p}_{M_2}) = \int \frac{d^4 k}{(2\pi)^4 i} \Phi_{M_1}(-(k + w_{13}p_1)^2) \Phi_{M_2}(-(k + w_{32}p_3)^2) Tr\{\Gamma_{M_1} S_{q_1}(\hat{k} + \hat{p}_1) \Gamma_{M_2} S_{q_2}(\hat{k} + \hat{p}_2) \gamma^\mu(1 - \gamma_5) S_{q_3}(\hat{k})\}$$

Матричный элемент распада :

Псевдоскалярный мезон в конечном состоянии:

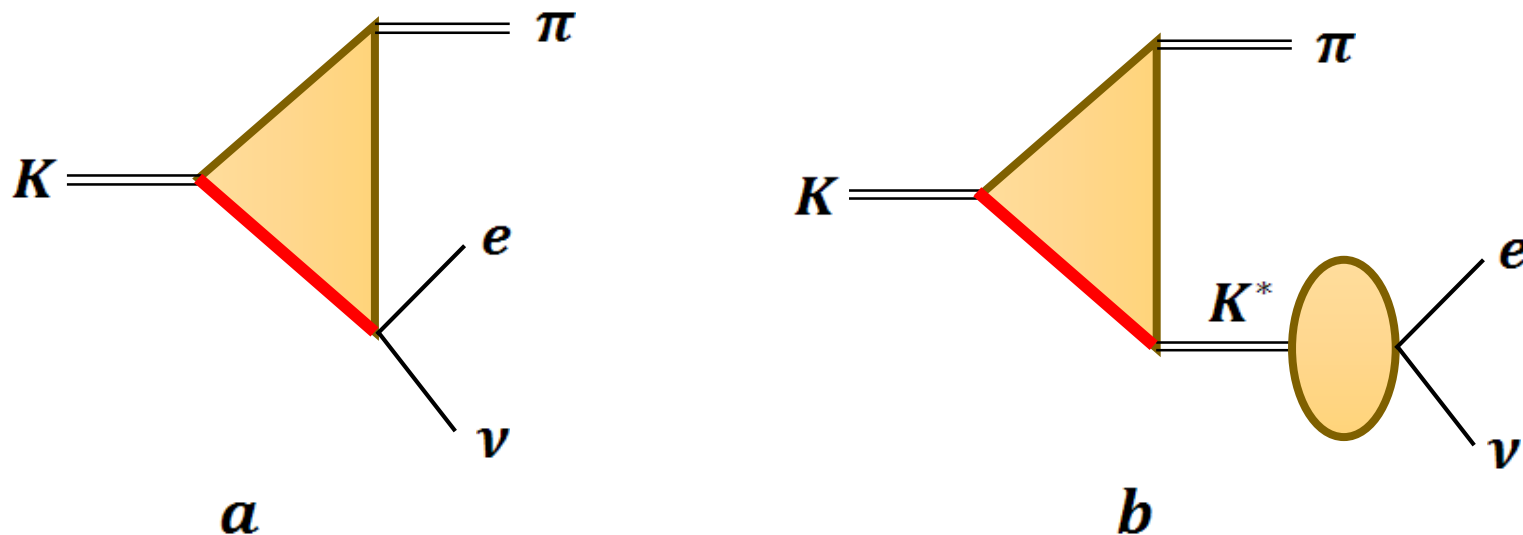
$$M^{\mu}(p_1, p_2) = F_+(t)P^{\mu} + F_-(t)Q^{\mu} \quad P^{\mu} = (p_1 + p_2)^{\mu} \quad Q^{\mu} = (p_1 - p_2)^{\mu} \quad t = (p_1 - p_2)^2$$

Векторный мезон в конечном состоянии

$$M^{\mu\nu}(p_1, p_2) = \frac{\epsilon_{V\alpha}}{M_1 + M_2} \left[ -g^{\mu\alpha} P \cdot Q A_0(t) + P^{\mu} P^{\alpha} A_+(t) + Q^{\mu} P^{\alpha} A_-(t) + i \epsilon^{\mu\alpha\nu\beta} P_{\nu} Q_{\beta} V(t) \right]$$

## Распад $K \rightarrow \pi e \nu_e$

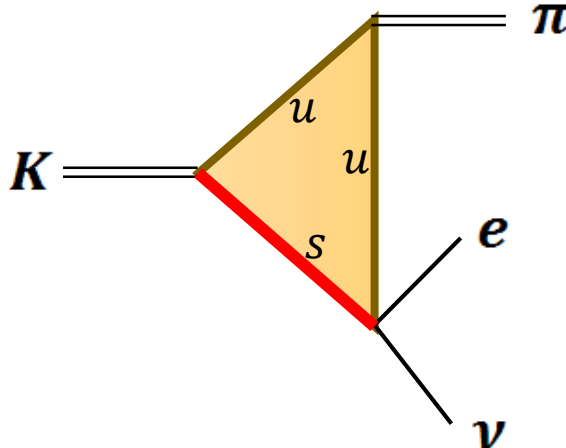
$$M^\mu(p_1, p_2) = F_+(t)(p_1 + p_2)^\mu + F_-(t)(p_1 - p_2)^\mu$$



$$F_+(t) = F_+^a(t) + F_+^b(t)$$

$$F_-(t) = F_-^a(t) + F_-^b(t)$$

$$t = (p_1 - p_2)^2$$



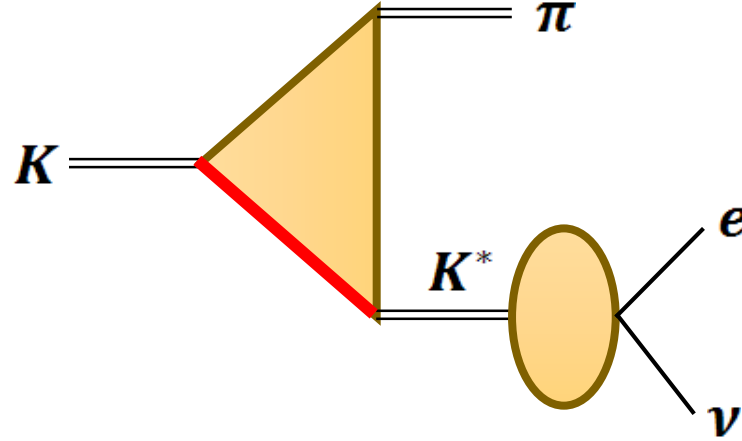
$$w_{us} = \frac{m_u}{m_u + m_s}$$

$$M_a^\mu(p_1, p_2) = 3g_k g_\pi \int \frac{d^4 k}{(2\pi)^4 i} \Phi_K(-(k + w_{us} p_1)^2) \Phi_\pi \left( - \left( k + \frac{1}{2} p_2 \right)^2 \right) \frac{\text{Tr}\{i\gamma_5(m_u + \hat{k} + \hat{p}_1)i\gamma_5(m_u + \hat{k} + \hat{p}_2)\gamma^\mu(m_s + \hat{k})\}}{(m_u^2 - (k + p_1)^2)(m_u^2 - (k + p_2)^2)(m_s^2 - k^2)}$$

$$= \frac{3g_k g_\pi}{4\pi^2} \int \frac{d^4 k}{(2\pi)^2 i} \text{Tr}\{i\gamma_5(m_u + \hat{k} + \hat{p}_1)i\gamma_5(m_u + \hat{k} + \hat{p}_2)\gamma^\mu(m_s + \hat{k})\} \int_0^\infty d\alpha_1 \int_0^\infty d\alpha_2 \int_0^\infty d\alpha_3$$

$$\exp \left( -\alpha_1(m_u^2 - (k + p_1)^2) - \alpha_2(m_u^2 - (k + p_2)^2) - \alpha_3(m_s^2 - k^2) + \frac{(k + w_{us} p_1)^2}{\Lambda_K^2} + \frac{\left(k + \frac{1}{2} p_2\right)^2}{\Lambda_\pi^2} \right) =$$

$$= \sqrt{h_K h_\pi} \int_0^{\frac{1}{\lambda^2}} du u^2 \int_0^1 d^3 \alpha \delta \left( 1 - \sum_{i=1}^3 \alpha_i \right) [F_1(u\alpha_1, u\alpha_2, u\alpha_3, t)(p_1 + p_2)^\mu + F_2(u\alpha_1, u\alpha_2, u\alpha_3, t)(p_1 - p_2)^\mu]$$



$$M_b^\mu(p_1, p_2) = g_K g_\pi T_{K\pi K^*}^\nu(t) g_{K^*} G_{K^*}^{\nu\rho}(t) g_{K^*} D_{K^*}^{\rho\mu}(t)$$

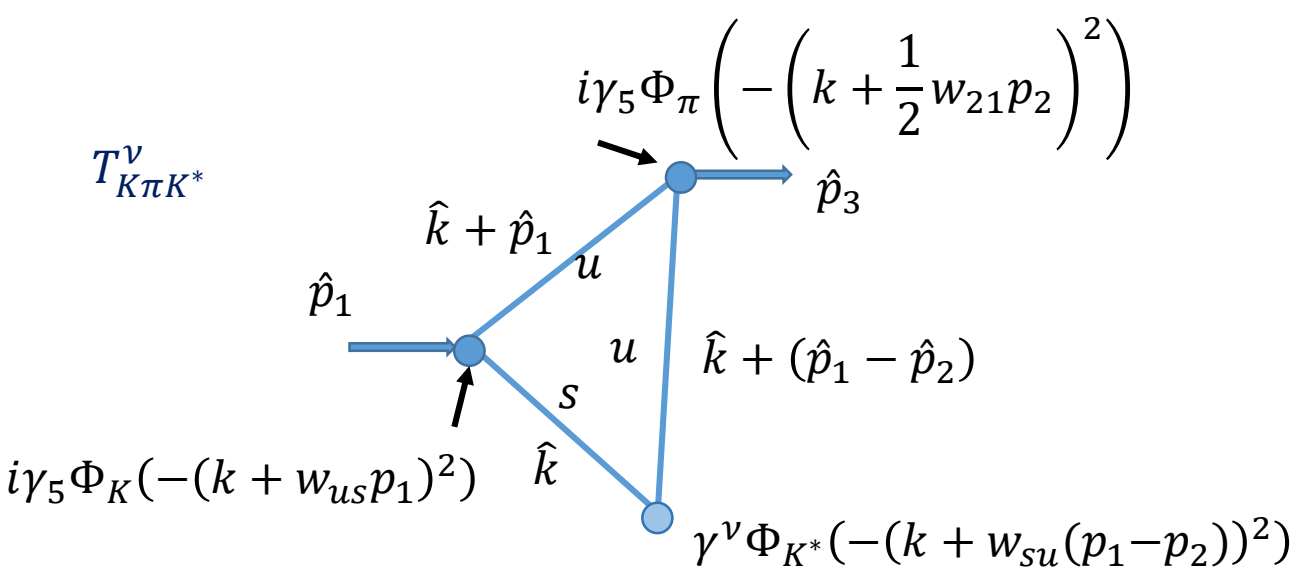
$T_{K\pi K^*}^\nu(t)$ -форм фактор распада  $K \rightarrow \pi K^*$  ( $K^*$ -виртуальный)

$D_{K^*}^{\rho\mu}(t)$ -форм фактор перехода  $K^* \rightarrow e\nu_e$

$G_{K^*}^{\nu\rho}(t)$  – пропагатор виртуального  $K^*$  мезона, в цепочном приближении определенный как:

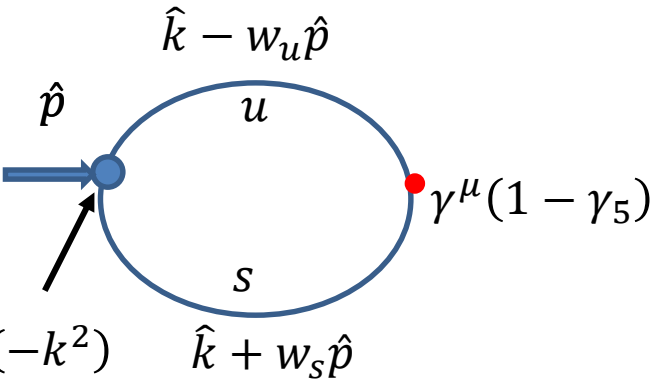
$$h_V G_V^{\nu\rho}(p^2) = \frac{1}{\Pi_1(p^2) - \Pi_1(m_V^2)} \left\{ -g^{\nu\rho} + \frac{p^\nu p^\rho \Pi_2(p^2)}{\Pi_1(p^2) - \Pi_1(m_V^2) + p^2 \Pi_2(p^2)} \right\}$$

Где  $\Pi_1(p^2)$  и  $\Pi_2(p^2)$  - поперечная и продольная части поляризационного оператора



$$\begin{aligned}
T_{K\pi K^*}^\nu(p_1, p_2) &= \int \frac{d^4 k}{(2\pi)^4 i} \Phi_K(-(k + w_{us} p_1)^2) \Phi_\pi \left( - \left( k + \frac{1}{2} p_2 \right)^2 \right) \Phi_{K^*}(-(k + w_{su}(p_1 - p_2))^2) \\
&\quad \frac{\text{Tr}\{i\gamma_5(m_u + \hat{k} + \hat{p}_1)i\gamma_5(m_u + \hat{k} + \hat{p}_2)\gamma^\nu(m_s + \hat{k})\}}{(m_u^2 - (k + p_1)^2)(m_u^2 - (k + p_2)^2)(m_s^2 - k^2)} = \\
&= \int \frac{d^4 k}{(2\pi)^2 i} \text{Tr}\{i\gamma_5(m_u + \hat{k} + \hat{p}_1)i\gamma_5(m_u + \hat{k} + \hat{p}_2)\gamma^\nu(m_s + \hat{k})\} \int_0^\infty d\alpha_1 \int_0^\infty d\alpha_2 \int_0^\infty d\alpha_3 \\
&= \exp \left( -\alpha_1(m_u^2 - (k + p_1)^2) - \alpha_2(m_u^2 - (k + p_2)^2) - \alpha_3(m_s^2 - k^2) + \frac{(k + w_{us} p_1)^2}{\Lambda_K^2} + \frac{\left(k + \frac{1}{2} p_2\right)^2}{\Lambda_\pi^2} + \frac{(k + w_{su}(p_1 - p_2))^2}{\Lambda_K^2} \right) = \\
&= \int_0^{\frac{1}{\lambda^2}} du u^2 \int_0^1 d^3 \alpha \delta \left( 1 - \sum_{i=1}^3 \alpha_i \right) [F_{1V}(u\alpha_1, u\alpha_2, u\alpha_3, t)(p_1 + p_2)^\mu + F_{2V}(u\alpha_1, u\alpha_2, u\alpha_3, t)(p_1 - p_2)^\mu]
\end{aligned}$$

$$D_{K^*}^{\rho\mu}$$



$$D_{K^*}^{\rho\mu}(p^2) = \int \frac{d^4 k}{(2\pi)^2 i} \Phi_{K^*}(-k^2) \frac{Tr\{\gamma^\rho (m_u + \hat{k} - w_u \hat{p}) \gamma^\mu (1 - \gamma_5) (m_s + \hat{k} + w_s \hat{p})\}}{(m_u^2 - (k - w_u \hat{p})^2)(m_s^2 - (k + w_s \hat{p})^2)} =$$

$$= \int \frac{d^4 k}{(2\pi)^2 i} Tr\{\gamma^\rho (m_u + \hat{k} - w_u \hat{p}) \gamma^\mu (1 - \gamma_5) (m_s + \hat{k} + w_s \hat{p})\} \int_0^\infty d\alpha_1 \int_0^\infty d\alpha_2 \int_0^\infty d\alpha_3 \\ \exp\left(-\alpha_1(m_u^2 - (k - w_u \hat{p})^2) - \alpha_2(m_s^2 - (k + w_s \hat{p})^2) + \frac{k^2}{\Lambda_{K^*}^2}\right) =$$

$$= \int_0^{\frac{1}{\lambda^2}} du u \int_0^1 d^2 \alpha \delta\left(1 - \sum_{i=1}^2 \alpha_i\right) [D_1(u\alpha_1, u\alpha_2, p^2) g^{\rho\mu} p^2 + D_2(u\alpha_1, u\alpha_2, p^2) p^\rho p^\mu]$$

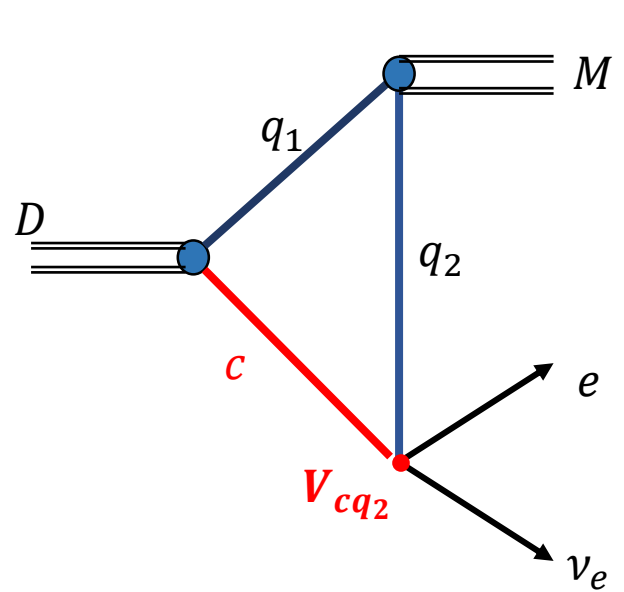
Формфакторы распада могут быть параметризованы как:

$$\begin{aligned} F_{\pm}(t) &= F_{\pm}(0) \left[ 1 + \lambda_{\pm} \frac{t}{m_{\pi}^2} \right] \\ \lambda_{\pm} &= m_{\pi}^2 \frac{F'_{\pm}(0)}{F_{\pm}(0)} \quad \xi(0) = \frac{F_{-}(0)}{F_{+}(0)} \quad \lambda_0 = \lambda_{+} + \frac{m_{\pi}^2}{m_K^2 - m_{\pi}^2} \xi(0) \end{aligned}$$

Параметр	Полученное значение	Эксперимент
$\lambda_{+}$	$0,034 \pm 0,004$	$0,0298 \pm 0,0005$
$\lambda_{-}$	$0,028 \pm 0,0036$	0
$\xi(0)$	$-0,38 \pm 0,0047$	$-0,35 \pm 0,14$

$$F_{+}(m_K^2) + F_{-}(m_K^2) = 0,9 \frac{f_K}{f_{\pi}}$$

## Полулептонные распады $D$ мезонов



$$M(D \rightarrow M_2 l \nu_l) = \frac{G_F}{\sqrt{2}} V_{cq_2} H^\mu L_\mu$$

$$|V_{cd}| = 0.2140 \pm 0.0029 \pm 0.0093$$

$$|V_{cs}| = 0.967 \pm 0.025$$

- ❑ BaBar Coliaboration *Phys.Rev.D* 91 (2015) 5, 052022 Measurement of the  $D^0 \rightarrow \pi^+ e^- \nu_e$  differential decay branching fraction as a function of  $q^2$  and study of form factor parameterizations
- ❑ BESSIII Coliaboration *Phys.Rev.D* 92 (2015) 072012 Study of Dynamics of  $D^0 \rightarrow K^- e^+ \nu_e$  and  $D^0 \rightarrow \pi^- e^+ \nu_e$  Decays
- ❑ CLEO Coliaboration *Phys.Rev.D* 80 (2009) 032005 Improved measurements of  $D$  meson semileptonic decays to  $\pi$  and  $K$  mesons

## Формфакторы $F_+(0)$ для $D \rightarrow \pi, K$ переходов

	CCQM	LSCR	LFQM	CQM	LQCD	Эксперимент
$D \rightarrow \pi$	$0.63 \pm 0.09$	$0.635^{+0.06}_{-0.057}$	0.66	0.69	$0.612 - 0.66$	$0.637 \pm 0.009$
$D \rightarrow K$	$0.77 \pm 0.11$	$0.661^{+0.067}_{-0.066}$	0.79	0.78	$0.73 - 0.765$	$0.737 \pm 0.004$

### *LSCR-light-cone sum rules*

- Y. L. Wu, M. Zhong, and Y. B. Zuo, Int. J. Mod. Phys. A 21, 6125 (2006)

### *LFQM-covariant light-front quark model*

- R. C. Verma, J. Phys. G 39, 025005 (2012) [arXiv:1103.2973]

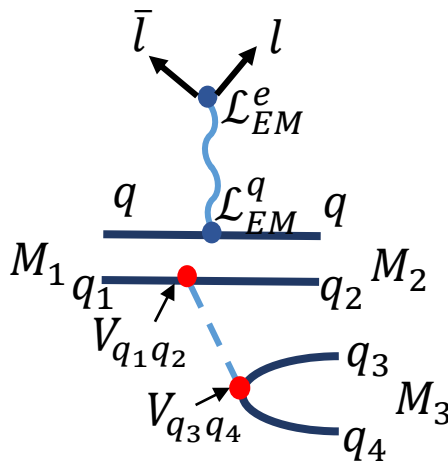
### *CQM –constituent quark model*

- D. Melikhov and B. Stech, Phys. Rev. D 62, 014006 (2000) [hep-ph/0001113]

### *LQCD-lattice calculations*

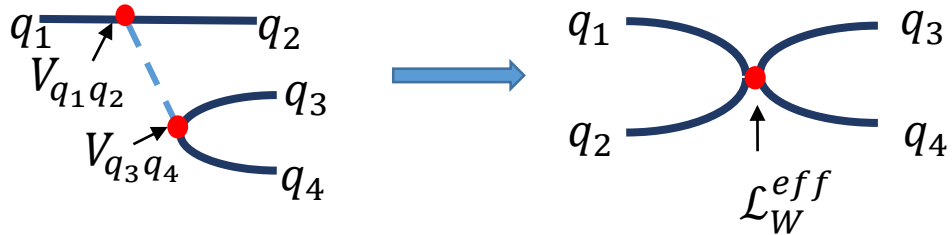
- V. Lubicz et al. (ETM Collaboration), Phys. Rev. D 96, 054514 (2017) [arXiv:1706.03017]
- H. Na, C. T. H. Davies, E. Follana, J. Koponen, G. P. Lepage, and J. Shigemitsu (HPQCD Collaboration), Phys. Rev. D 84, 114505 (2011) [arXiv:1109.1501]
- C. Aubin et al. (Fermilab Lattice and MILC and HPQCD Collaborations), Phys. Rev. Lett. 94, 011601 (2005) [hep-ph/0408306].

# Распад $M_1 \rightarrow M_2 l^+ l^-$



$$\mathcal{L}_{EM}^q = e A_\mu \bar{q}_i^a Q_{ij} \gamma^\mu q_j^a, Q = \text{diag} \left( \frac{2}{3}; -\frac{1}{3}; -\frac{1}{3} \right)$$

$$\mathcal{L}_{EM}^e = e A_\mu \bar{l} Q_{ij} \gamma^\mu l$$



$$\mathcal{L}_W^{eff} = \frac{G_F}{2\sqrt{2}} V_{q_1 q_2} V_{q_3 q_4} \sum c_i(\mu) O_i$$

$c_i(\mu)$ -Вильсоновские коэффициенты

$O_i$ -четырехфермионные операторы

$$O_1 = (\bar{d}O_L^\mu s)(\bar{u}O_L^\mu u) - (\bar{d}O_L^\mu u)(\bar{u}O_L^\mu s) \quad \Delta I = 1/2$$

$$\begin{aligned} O_2 = & (\bar{d}O_L^\mu u)(\bar{u}O_L^\mu s) + (\bar{d}O_L^\mu s)(\bar{u}O_L^\mu u) + 2(\bar{d}O_L^\mu s)(\bar{d}O_L^\mu d) + \\ & + 2(\bar{d}O_L^\mu s)(\bar{s}O_L^\mu s) \quad \Delta I = 1/2 \end{aligned}$$

$$O_3 = (\bar{d}O_L^\mu u)(\bar{u}O_L^\mu s) + (\bar{d}O_L^\mu s)(\bar{u}O_L^\mu u) - (\bar{d}O_L^\mu s)(\bar{s}O_L^\mu s) \quad \Delta I = 1/2$$

$$O_4 = (\bar{d}O_L^\mu u)(\bar{u}O_L^\mu s) + (\bar{d}O_L^\mu s)(\bar{u}O_L^\mu u) - (\bar{d}O_L^\mu s)(\bar{d}O_L^\mu d) \quad \Delta I = 3/2$$

$$O_5 = (\bar{d}O_L^\mu \lambda^a s) \sum_{q=u,d,s} (\bar{q}O_R^\mu \lambda^a q) \quad \Delta I = 1/2$$

$$O_6 = (\bar{d}O_L^\mu s) \sum_{q=u,d,s} (\bar{q}O_R^\mu q) \quad \Delta I = 1/2$$

$$O_L^\mu = \gamma^\mu (1 - \gamma^5); \quad O_R^\mu = \gamma^\mu (1 + \gamma^5)$$

$$\text{Распад } K^+ \rightarrow \pi^+ l^+ l^-$$

$$M(K^+\rightarrow\pi^+l^+l^-)=\frac{G_F}{2\sqrt{2}}V_{ud}V_{us}e\frac{\sqrt{h_kh_\pi}}{8\sqrt{2\pi}}F(q^2,m_K^2,m_\pi^2)q^\mu\frac{-ig^{\mu\nu}}{q^2+i\epsilon}(-ie)\bar{l}(k)\gamma^\nu l(k')$$

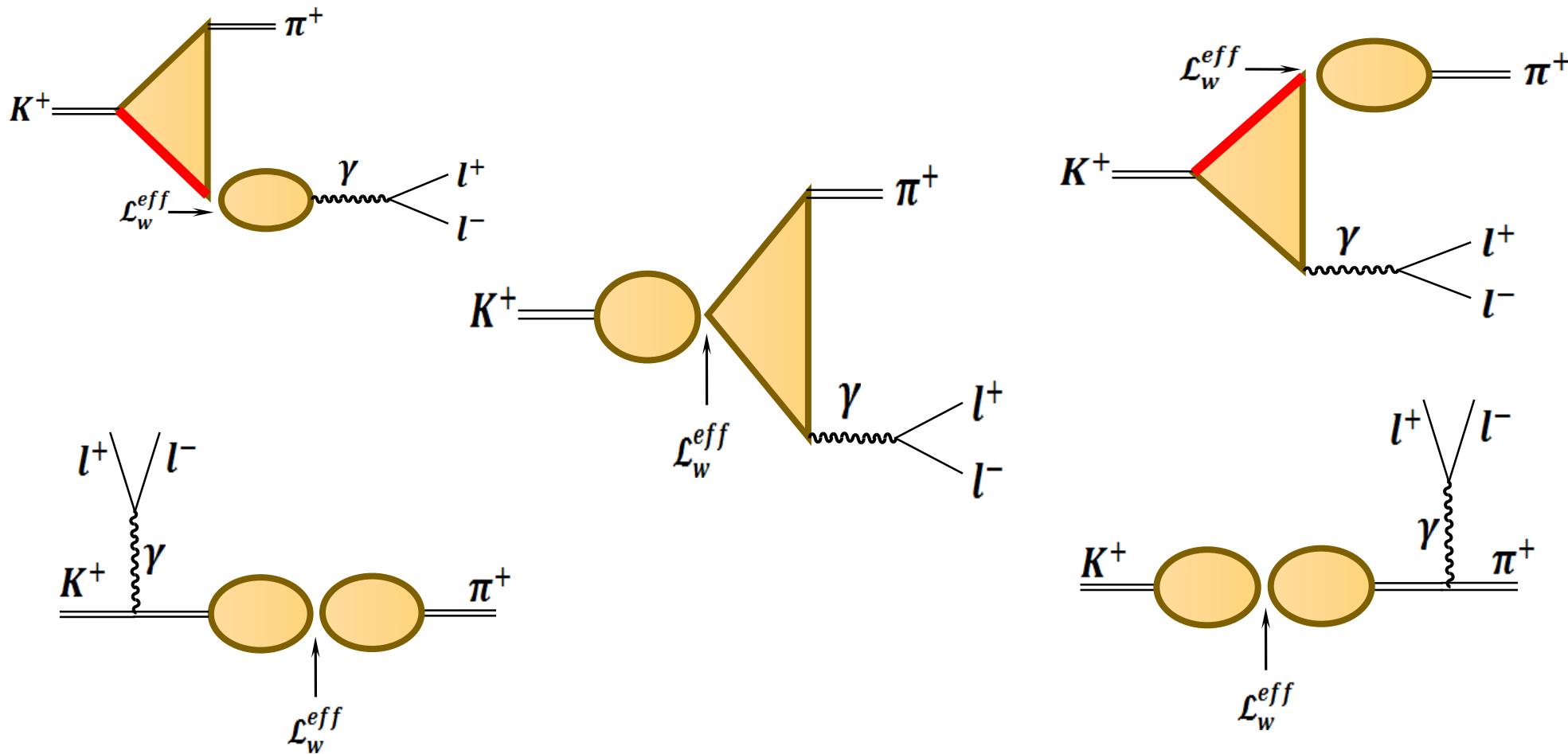
$$\Gamma(K^+\rightarrow\pi^+e^+e^-)=\frac{{G_F}^2\alpha^2}{128\pi^3m_K^3}\;V_{ud}^2\;V_{us}^2\frac{9h_Kh_\pi}{8\pi}\times\\\times\int\limits_{4m_e^2}^{(m_K-m_\pi)^2}dq^2\;q^2\left(1+\frac{2m_e^2}{q^2}\right)\lambda^{3/2}\left(1,\frac{m_K^2}{q^2},\frac{m_\pi^2}{q^2}\right)\lambda^{1/2}\left(1,\frac{m_e^2}{q^2},\frac{m_e^2}{q^2}\right)\left|F(q^2,m_K^2,m_\pi^2)\right|^2\\F(q^2,m_K^2,m_\pi^2)$$

$$\lambda(\textcolor{violet}{a},\textcolor{red}{b},c)=\textcolor{blue}{a}^2+\textcolor{red}{b}^2+c^2-2(\textcolor{blue}{ab}+\textcolor{teal}{ac}+bc)$$

$$F(q^2,m_K^2,m_\pi^2)=F_1(q^2,m_K^2,m_\pi^2){+}F_2(q^2,m_K^2,m_\pi^2)$$

$$F_2(q^2,m_K^2,m_\pi^2)=F_A(q^2,m_K^2,m_\pi^2){+}F_P(q^2,m_K^2,m_\pi^2)$$

## Диаграммы, определяющие распад $K^+ \rightarrow \pi^+ l^+ l^-$

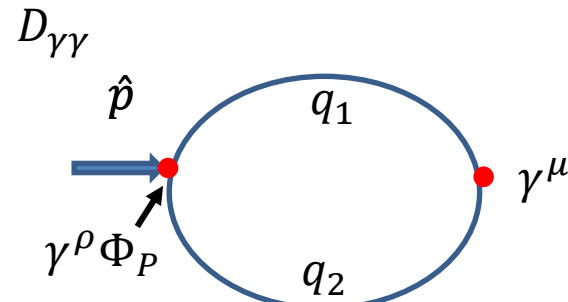
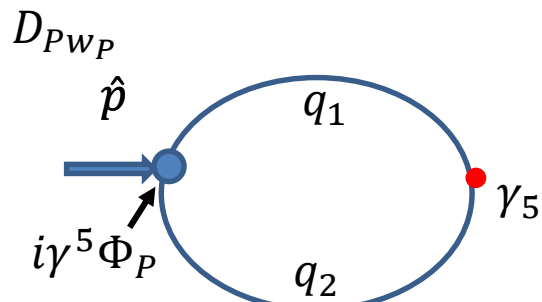
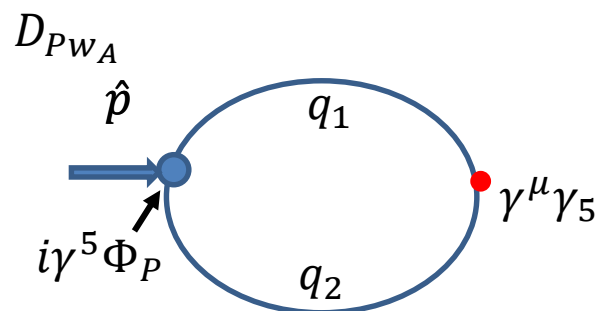
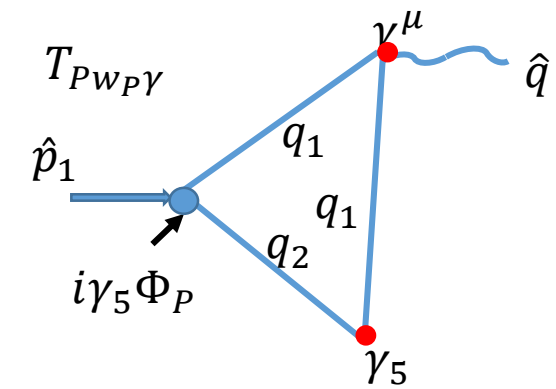
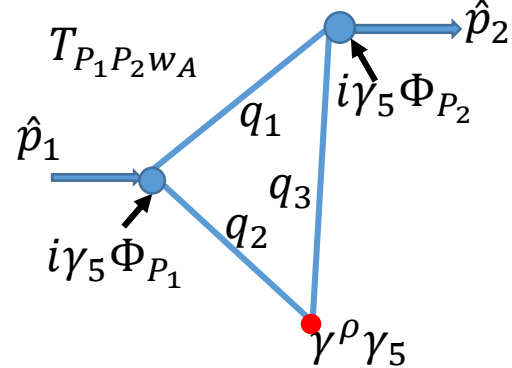
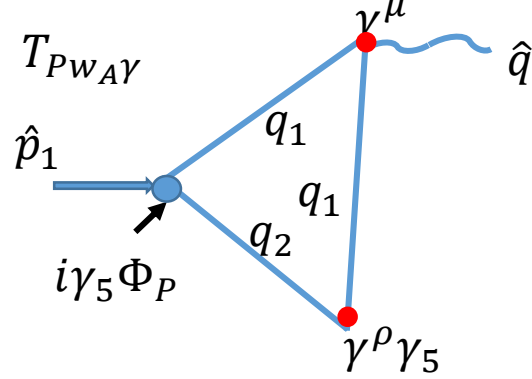


$$F_1(q^2, m_K^2, m_\pi^2) = \frac{2}{3}(-c_1 - 2c_2 - 2c_3 - 2c_4)G_1 + \frac{4}{9}(-c_1 - 2c_2 + 3c_3 + 3c_4)G_2 - \frac{2}{9}c_5G_3$$

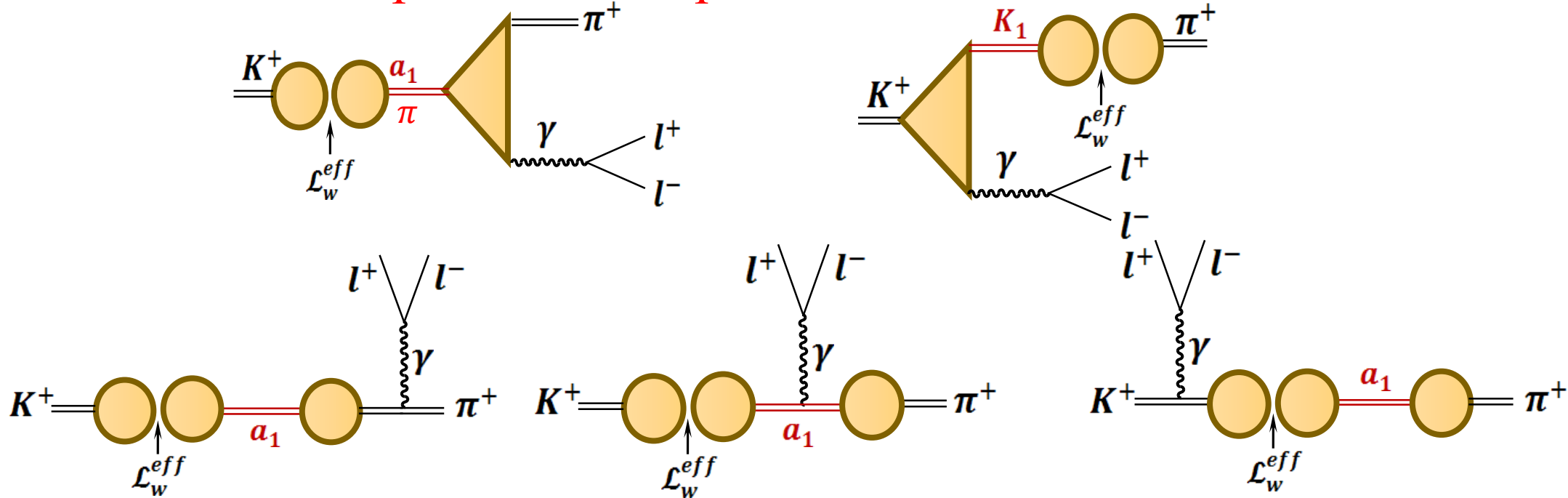
$$G_1 = D_{W_A K}(m_K^2)T_{\pi W_A \gamma}(m_K^2, m_\pi^2, q^2) + D_{W_A \pi}(m_\pi^2)T_{K W_A \gamma}(m_\pi^2, m_K^2, q^2)$$

$$G_2 = q^2 D_{\gamma\gamma}(q^2) T_{K \pi W_A}(m_K^2, m_\pi^2, q^2)$$

$$G_3 = D_{\pi W_P}(m_\pi^2)T_{K W_P \gamma}(m_K^2, m_\pi^2, q^2) + D_{K W_P}(m_K^2)T_{\pi W_P \gamma}(m_\pi^2, m_K^2, q^2)$$

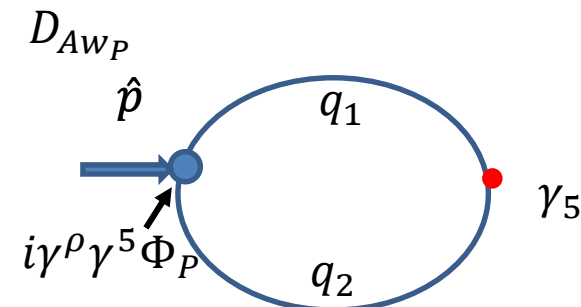
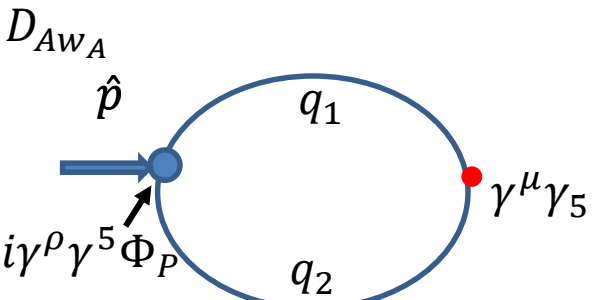
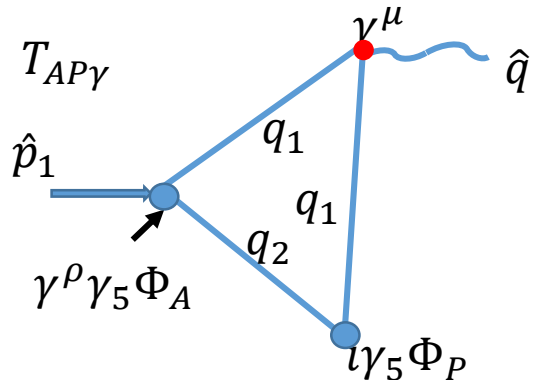


Диаграммы с промежуточными мезонами,  
определяющие распад  $K^+ \rightarrow \pi^+ l^+ l^-$



$$F_A(q^2, m_K^2, m_\pi^2) = \frac{2}{3}(c_1 + 2c_2 + 2c_3 + 2c_4)G_{A1} + \frac{4}{9}(-c_1 - 2c_2 + 3c_3 + 3c_4)G_{A2} - \frac{2}{9}c_5G_{A3}$$

$$F_P(q^2, m_K^2, m_\pi^2) = \frac{2}{3}(c_1 + 2c_2 + 2c_3 + 2c_4)G_{P1} + \frac{2}{3}c_5G_{P2}$$



$$G_{A1} = -D_{w_A K}(m_K^2) D_{Aw_A}(m_K^2) T_{AP\gamma}(m_K^2, m_\pi^2, q^2) \frac{\Pi_1(m_K^2) + m_K^2 \Pi_2(m_K^2)}{\Pi_1(m_K^2) - \Pi_1(m_A^2) + m_K^2 \Pi_2(m_K^2)} + K \leftrightarrow \pi$$

$$G_{A2} = q^2 D_{\gamma\gamma}(q^2) \left\{ \frac{D_{PWA}(m_\pi^2) T_{PP\gamma}(m_\pi^2, m_K^2, q^2)}{\Pi_1(m_\pi^2) - \Pi_1(m_A^2) + m_\pi^2 \Pi_2(m_\pi^2)} - K \leftrightarrow \pi \right\}$$

$$G_{A3} = \{D_{Pw_P}(m_\pi^2) + D_{Pw_P}(m_K^2)\} \left\{ \frac{D_{Aw_A}(m_K^2) T_{AP\gamma}(m_K^2, m_\pi^2 q^2)}{\Pi_1(m_K^2) - \Pi_1(m_A^2) + m_K^2 \Pi_2(m_K^2)} - K \leftrightarrow \pi \right\}$$

$$G_{P1} = \{m_K^2 D^2_{Pw_A}(m_K^2) - m_\pi^2 D^2_{Pw_A}(m_\pi^2)\} \frac{T_{PP\gamma}(m_K^2, m_\pi^2 q^2)}{2(D_{PP}(m_K^2) - D_{PP}(m_\pi^2))}$$

$$G_{P2} = \{D^2_{Pw_P}(m_K^2) - D^2_{Pw_P}(m_\pi^2)\} \frac{T_{PP\gamma}(m_K^2, m_\pi^2 q^2)}{2(D_{PP}(m_K^2) - D_{PP}(m_\pi^2))}$$

## Численные результаты

Распад	$\text{Br}_{exp} \times 10^{-7}$	$\text{Br}_1 \times 10^{-7}$	$\text{Br}_2 \times 10^{-7}$
$K^+ \rightarrow \pi^+ e^+ e^-$	$3.00 \pm 0.09$	$5.58 \pm 0.56$	$3.23 \pm 0.56$
$K^+ \rightarrow \pi^+ \mu^+ \mu^-$	$0.917 \pm 0.014$	$1.15 \pm 0.012$	$0.73 \pm 0.014$

$$\alpha_s = 0, 05 - 1, 0 ; \quad \mu = 0, 9 - 1, 9 \text{ GeV}$$

$$R \left( \frac{\mu^+ \mu^-}{e^+ e^-} \right) = \frac{Br(K^+ \rightarrow \pi^+ \mu^+ \mu^-)}{Br(K^+ \rightarrow \pi^+ e^+ e^-)}$$

$$R_{exp} = 0.309(43)$$

$$R_{ChT} \cong 0.23$$

$$R_{our} = 0.22 \pm 0.04$$

## *Перспективы:*

- *Изучение остальных редких распадов K мезонов*
- *Изучение редких распадов D мезонов*  
 $D^+ \rightarrow \pi^+ e^+ e^-$ ,  $D^+ \rightarrow \pi^+ \mu^+ \mu^-$ ,  $D_s^+ \rightarrow \pi^+ e^+ e^-$ ,  $D_s^+ \rightarrow K^+ \mu^+ \mu^-$  и т.д
- *Изучение возможных взаимодействий D и  $\eta_c$  мезонов*
- *Изучение нелептонных распадов K и D мезонов*